

ФЕДЕРАЛЬНЫЙ ЦЕНТР ДВОЙНЫХ КОНВЕРСИОННЫХ ТЕХНОЛОГИЙ

НАУЧНО-ИССЛЕДОВАТЕЛЬСКИЙ ОТЧЕТ:
"ИССЛЕДОВАНИЯ СТЕКЛЯННОГО ШАРА,
КАК ПРЕДПОЛАГАЕМОГО АНОМАЛЬНОГО ОБЪЕКТА"

Автор: Старший научный сотрудник ФЦДКТ,
Член-корреспондент Международной Академии
информатизации,
кандидат-технических наук

В.Н.Фоменко

Москва
1995 год

РЕФЕРАТ

Отчет состоит из 30 стр. текста, включает 6 фотографий, 7 рисунков, 7 литературных источников.

Ключевые слова: стеклянный шар, аномальный шар, черный шар, странный шар, сеть Хартмана, сеть Кури.

Приведены результаты исследования стеклянного шара, найденного в земле под Рязанью, в связи с предположением, что он относится к аномальным шарам, находимым в грунте и на поверхности разных континентов Земли. Эти странные шары и камни имеют необычные свойства и неясное назначение. Они имеют явно техногенное происхождение, а часть из них возраст, исключающий их изготовление людьми. Некоторые из них обладают самодвижением и реагируют на звуки.

Проведенное исследование, закончившееся вследствие саморазрушения стеклянного шара от замороженных и термических напряжений, позволило выяснить, что он относится к полуупродуктам стекольного производства и не обладает аномальными свойствами.

Он изготовлен людьми 150-250 лет назад.

Оглавление

Реферат.....	Стр.2
Введение.....	4
I.Обзор. Странные шары и камни.....	6
2.Результаты исследований.....	16
2.1.Форма и структура стеклянного шара.....	16
2.2.Определение плотности.....	21
2.3.Определение магнитных свойств.....	21
2.4.Определение радиоактивности.....	24
2.5.Проверка возможности самовращения шара.....	25
3. Заключение.....	29
Список использованных источников.....	30
Фотографии I-6 стеклянного шара.....	31
Рис. 2-7 Аппроксимация контуров СИ дугами.....	32

ВВЕДЕНИЕ

Работа выполнена в соответствии с договором подряда № 5/94 от 17.06.94г. между Научно-исследовательским институтом по изучению аномальных явлений /НИИАЯ/ г. Харьков и гражданином Фоменко Валентином Николаевичем. В соответствии с договором гр. Фоменко В.Н. получил для проведения изучения принадлежавший НИИАЯ объект "Шар", провел исследования в указанных в договоре направлениях, составил настоящий отчет и вернул объект исследования НИИАЯ.

Основной целью изучения являлось выявление наличия или отсутствия у этого объекта особенностей, свойств, характеристик и технологии изготовления, позволяющих отнести его к категории рассмотренных в обзоре "странных шаров и камней".

Необходимость проведения исследования возникла в связи с внешним сходством объекта исследования, в дальнейшем именуемом "стеклянный шар"/ и сокращенно обозначаемом аббревиатурой - СШ/ с ранее исследованным исполнителем данной работы объектом "черный шар" [I], который имел ряд особенностей, заставляющих считать его "аномальным шаром", входящим в категорию "странных шаров". Это сходство определило перечень предполагаемых направлений исследований СШ. Однако в связи с получаемыми при исследовании результатами часть направлений исследования пришлось изменить в ходе их проведения. От части же направлений пришлось отказаться в связи с исчезновением возможностей их выполнения вследствие разрушения системы научных учреждений, выходом в них из строя сложных исследовательских установок приборов и аппаратуры, уходом специалистов, обслуживающих их, и даже из-за того, что прекратилось поступление в НИИ жидкого азота в связи с отсутствием необходимого финансирования научных учреждений.

Не удалось поэтому попытки определения состава и изотопного состава материала СШ и прямого определения времени его изготовления, которые могли бы быть решающими экспериментами для версии об изготовлении СШ не людьми, а присутствующим на Земле представителем высокоразвитой

цивилизации внеземного происхождения.

Тем не менее, проведенные исследования привели к достаточно уверенному заключению, что СП изготовлен людьми по технологии, существовавшей 150 - 250 лет назад в России стекольных производств и представляет собой его полу-продукт, использовавшийся в качестве игрушки для детей.

I. ОВЗОР ЛИТЕРАТУРЫ. СТРАННЫЕ ШАРЫ И КАМНИ.

I.I. В начале 20-го века было обнаружено, что каменный шар весом 1090 кг, находящийся на мраморном надгробье кладбища г. Марион /шт. Огайо, США/, медленно вращается вокруг горизонтальной оси с севера на юг. С тех пор за ним ведется постоянное наблюдение, которое показало, что он непрерывно меняет свое место на пьедестале, не скатываясь с него [2].

I.I.2. Так же удивительно поведение "шара чудес", находящегося в витрине музея естественных наук г. Клеркдопа в ПАР. Впервые "шары чудес" были обнаружены около 20 лет назад в пирофилитовых рудниках провинции Трансвааль. Пирофилит используется для изготовления скульптур и в технике. Он образовался 2,8 млрд лет назад. Находимые в нем металлические шары имеют правильную форму яйца, будто отлитую в специальной форме. Размер от одного до 10 см. в длину. Вокруг продольной оси имеют по три четких кольцевых параллельных бороздки. Некоторые шары сплошные, другие - полые, с оболочкой толщиной до шести миллиметров и имеют губчатую верхушку. Один из "шаров чудес", как прозвали их шахтеры, был выставлен в музее. Он был не полностью очищен от пирофилита и, поэтому, естественно, его положили в витрине чистой стороной к посетителям. Это позволило случайно обнаружить, что он в опечатанной витрине вращается, делая один оборот за полгода. К сожалению в сообщении так же, как и для шара на кладбище, не указан состав металла, из которого изготовлены шары. Если бы они были из золота или платины /только эти металлы встречаются в самородках и могут выдержать без окисления 2,8 млрд. лет/, то шахтеры их не продавали бы, как сообщается в статье, туристам. Правильность их формы и бороздок /аналогично черному шару см.п.1.2.5/, а также полостей, указывает на техническое происхождение. Но откуда они взялись в пласте возрастом 2,8 млрд. лет? [3].

I.3. Таинственные полые металлические сферы падали с неба по всему миру. Три таких шара диаметром 35 см. с блестящей отполированной поверхностью были обнаружены в 1963 г. в австралийской пустыне. Министр обороны Австралии Аллен Файхелл сказал в парламенте 30.4.63г,

что все попытки открыть эти сферы потерпели неудачу. По слухам они переданы ВВС США и там они исчезли без дальнейших публикаций о результатах их исследования. [2].

I.4. В книге Дж. Мичелла и Р. Риккарда "Феномены книги чудес"/[4] с.23 /приведена фотография 16-ти дюймовой /406 мм/металлической сферы /состав и толщина не указываются/, якобы упавшей из космоса и обнаруженной в 1972 г. в Новой Зеландии. На ней видно отверстие с неровными краями размером примерно 20x11,5 см. со следами ручевого оплавления, расходящимися от краев отверстия, что характерно для оплавления железных метеоритов. Однако, если оно действительно образовалось от входа в атмосферу с космической скоростью, то при правильной сферической форме шар мог бы оплавиться только с одной стороны в тех случаях, если что-то удерживало его от вращения или если в шаре бы было что-то, сместившее центр тяжести при торможении и потом выпавшее через отверстие.

I.5. В США в 1974 г. близ г. Джексонвилла /шт. Флорида/ сын фермера Терри Метьюс Бети нашел в поле сверкающий шар диаметром 200,22 см из нержавеющей стали. Толщина стенки колеблется от 10,9 до 11,4 мм, вес 9,67 кг. На шаре нет никаких швов или иных следов сборки. Есть только небольшая выпуклость в форме удлиненного треугольника длиной около трех миллиметров. Просвечивание рентгеном показало, что внутри находится много круглых предметов, причем некоторые из них имеют оболочку. Шар странно намагнчен /нержавеющая сталь не намагничивается/. Реагирует на звук, что обнаружилось, когда через две недели после находки Терри стал играть на гитаре и он сам выкатился из под кровати. Исследования реакции на звук показали, что он на некоторые звуки реагирует вибрацией, каким-то образом связанной с его перемещением. Закономерности перемещений не удалось определить. Шар как бы бесцельно раскатывается в разные стороны, останавливаясь время от времени на короткие периоды. В одном случае он без остановки катался 12 минут. Когда его поместили на слегка наклонную стеклянную плиту, он

сначала как-бы "исследовал" ее нижний край, после чего медленно покатился вверх против уклона. [5].

I.6. Публикация об этой находке вызвала поток сообщений о нахождении различных металлических шаров. Их находили не только на территории США, но и других стран: Мексики, Австралии, Австрии, Германии и других стран Европы. Передача этих шаров для исследований заканчивались бесследным исчезновением в лабораториях. [5]. По слухам монолитный блестящий металлический шар диаметром около 40 см /вес его должен быть в этом случае около 260 кг/ нашли в 10 м от Московской кольцевой автомобильной дороги.

I.7. Каменные шары на поверхности земли обнаружены в труднопроходимых джунглях Коста-Рики /Центральная Америка/. На площадках группами от трех до 45 расположено большое количество каменных шаров диаметром от 10 см до двух метров. Группы образуют прямые линии, треугольники, круги, многие из которых ориентированы в направлении север-юг. [5].

I.8. Небольшие разноцветные сферы были обнаружены по всей территории Франции в таком количестве, будто прошел дождь из таких сфер /подробности о размере, составе и т.п. в сообщениях не указаны/. [2].

I.9. В индийской деревне Шивапур вблизи местного храма лежат два камня весом 55 и 41 кг. Если до большого камня дотронутся 11 человек, а до малого - девять и на строго определенной ноте они произнесут некую "магическую" фразу, то оба валуна поднимаются на высоту около двух метров и зависают примерно на секунду. Это многократно фиксировалось туристами и учеными, в том числе иностранными. [6].

I.10. В 1973 г. близ Баку на острове Булла, возникшем из грязевого вулкана, были обнаружены шаровидные образования. Две половинки шаров соединялись между собой чем-то вроде пояска или диска меньшего диаметра, по которому они легко раскальвались. Анализ показал, что шары эти состоят на 30% из окиси алюминия, на 20% из частиц магнетита, остальное - базальт. Состав не соответствует природному происхождению. [5].

I.11. На ровном дне высокого озера Рейстрек вблизи Долины Смерти

в Калифорнии сами движутся скальные обломки - валуны весом от 10-15кг до полутонны. Камни не перекатываются, а очень медленно волочатся, оставляя следы в песчанном дне озера длиной от десятков до сотен метров (см. [2]). Направления движения близлежащих камней не совпадают, что не позволяет объяснить их перемещения воздействием ураганных ветров, тем более, что в случае ветра следы от камней немедленно бы сдувались и на фотографиях были бы видны барханы или хотя бы ветровая рябь. Да и камни катились бы, а не тащились без вращения [2].

I.I2. В октябре 1979 г. мне был передан на исследование научными методами через Институт космических исследований АН СССР, где велась работа по теме "Сетка АН" /по изучению НЛО/, так называемый "Черный Шар". Поскольку отчет о проведенном исследовании этого шара [1] до сих пор не был опубликован, имеет смысл кратко изложить его содержание.

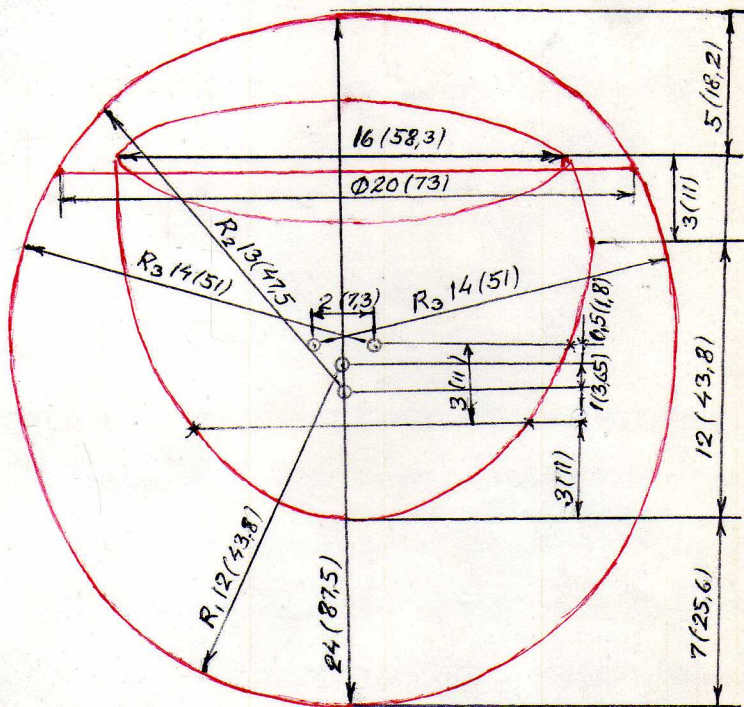
I.I2.1. Так называемый Черный Шар был найден в 1975 г. на Западной Украине при добыче глины для местного кирпичного завода на глубине восьми метров от поверхности. Внимание экскаваторщика привлекла правильность его формы. Когда же он "попробовал его на зуб", ударив им о зуб ковша экскаватора, и по сколу обнаружил, что он из необычного стекла, то отдал его сыну. Тот принес Шар в школу и подарил учителю, который создавал в селе небольшой краеведческий музей. Через три года приехавший к учителю сын - сотрудник Института физики Земли - привез Шар в Москву. Через некоторое время Шар перешел к парапсихологу А. Дееву, обнаружившему у Шара сильнейшее биополе. Потирая его руками, он "заряжался" от него биоэнергией.

I.I2.2. В октябре 1979 г. этот Шар был передан мне сотрудником Института космических исследований для его изучения. Пр^дполагаемое ино-планетное происхождение Шара, его уникальность и значимость заставили составить большую программу его исследований с использованием только неразрушающих методов. Однако удалось лишь начать ее, т.к. через неделю по категорическому требованию владельца /сотрудника ИФЗ/ с обещанием вернуть его для продолжения изучения через несколько

дней, он был передан ему. И исчез.

I.I2.3. Удалось лишь сфотографировать его, обмерить, изучить состояние поверхности под микроскопом, определить прозрачность, массу, положение центра тяжести и провести рентгеновское исследование.

I.I2.4.На рис. I приведен чертеж Черного Шара и его размеры.



Поверхность Шара на 2/3 была покрыта мягким желто-серым слоем, ока-
звшимся слоем выщелоченного стекла. Его толщина была более мил-
лиметра, что заметно ~~и то что~~ в местах сколов этого слоя. Сколы
появились за полгода его использования Леевым. Он же стер на трети
поверхности Шара весь выщелоченный слой при "добывании" из него
"биоэнергии". Там, где этот слой был сколот или стерт, было видно,
что Шар сделан из очень черного стекла. При плотном прижатии через
резиновую шайбу к сколу, образовавшемуся при ударе о ковш экскава-
тора, выходного отверстия устройства для подсветки с очень яркой
галогеновой лампой, даже в темноте не обнаруживалось прохождение
света через Шар или рассеивание света в нем.

I.I2.5.У тупого конца Шара была круговая канавка диаметром 73мм и глубиной до 0,4 мм, в которой почти не было выщелачивания. Не имели выщелачивания и темные полоски шириной до миллиметра, идущие примерно в широтном направлении.

I.12.6. При рентгеновском исследовании обнаружилось, что в Шаре есть Ядро (рис. I), в материале которого, как это было установлено фотометрическим исследованием рентгеновских снимков, поглощение рентгеновских лучей происходит в четыре раза слабее, чем в его черной оболочке. Ядро имеет блюдцеобразный торец, небольшую цилиндрическую часть и закругленную яйцеподобную часть, контур которой очень точно очерчен двумя идеально сопряженными параболами.

I.12.7. Часть Шара выше канавки диаметром 73 мм содержит 22 пузырька воздуха диаметром от 0,3 до 4 мм. В остальной части оболочки и в Ядре их нет. Это заставляет считать, что часть Шара, расположенная выше канавки, изготовлена как отдельная деталь и позволяет понять технологию изготовления Шара. Очевидно, что при изготовлении Шара на заранее подготовленное дно с выступом, входящим в блюдцеобразную впадину на торце Ядра, было поставлено также отдельно отлитое Ядро. Они были помещены в металлическую разъемную форму /кокиль/ и в пространство между кокилем и Ядром, через отверстие в противоположном полюсе кокиля, под давлением была залита расплавленная стеклянная масса. При этом дно спаялось с расплавленным стеклом оболочки. Движение стекломассы с быстрым охлаждением при контакте с более холодными стенками кокиля создало оказавшиеся более стойкими и выщелачиванию складки закаленного стекла в виде темных широтных полосок . Такие эффекты хорошо известны в стеклоделии при штамповке заготовок линз.

I.12.8. Средняя плотность Шара при объеме 320 см³ и массе 617 г, оказалась равной 1,93 г/см³, что близко соответствует плотности глины, в которой он был. Эта плотность обусловлена наличием менее плотного Ядра, т.к. известные стекла имеют плотность от 2,3 до 6,7, кварц и яшма 2,3, а вулканическое стекло обсидиан 2,36 г/см³. Если предположить, что оболочка состоит из кварца или обсидиана, то плотность Ядра должна быть 0,8 или 0,626 г/см³.

I.12.9. Зная массу, объем, контуры Шара и Ядра /снятые с рентгеновского снимка/ и положение центра тяжести / в $51,56 \pm 0,88$ (см)

мм от полюса/ удалось с помощью расчетов, проведенных на ЭВМ, определить массы и плотности оболочки и Ядра. Они оказались равными 981 и минус 364 г и 4,08 и минус 4,58 г/см³. Получилось, что Ядро обладает сильной антигравитацией. Теоретически это возможно лишь в том случае, если Ядро состоит из антиматерии.

I.I2.10. Такой парадоксальный результат заставил определить возможно ли получение его за счет ошибки в расчетах или при определении положения центра тяжести. Повторные расчеты, проведенные на другой ЭВМ и по другой программе, показали, что ошибки в расчетах нет. Вероятность отклонения измеренного положения центра тяжести на такую величину, чтобы получить вычисленную отрицательную массу Ядра вместо хотя бы нулевой (если допустить, что Ядро - это пустота) оказалась ничтожно малой-менее 10⁻²⁵.

I.I2.11. То, что Шар разумно сконструирован, а не является случайной игрой природы, вытекает из того, что высота Ядра равна половине длины оси симметрии, высота Ядра - равна 3/4 его же диаметра, а объем Ядра -ровно 1/4 объема Шара, вычисленного с учетом стертой части выщелоченного слоя.

I.I2.12. Анализ углов между элементами Шара (рис2) показал, что все они кратны 15°, т.е. 1/24 от 360°. Проверка линейных размеров показывает, что они (за исключением диаметра по экватору) тоже кратны 1/24 от длины оси симметрии, равной 87,5 мм, т.е. кратны 3,65мм. Точное совпадение 15 из 16 размеров с величинами кратными 3,65 мм позволяет считать, 3,65 мм было для конструктора Шара единицей длины и что он работал с использованием двадцатичетверичной системы счисления. Ведь, как правило, конструктор при проектировании делает все размеры кратными принятым единицам длины и углов. Это не только облегчает его работу, но, главное, облегчает работу при изготовлении и контроле изделий и оснастки для изготовления.

I.I2.13. В библиотеке имени Ленина я просмотрел всю имевшуюся в ней литературу по старинным и современным единицам длины всех стран и народов и по известным в истории системам счисления. Оказалось, что никто никогда не имел даже близкой или кратной этой еди-

ницы длины и никто не пользовался двадцатичетверичной системой счисления. А двадцатичетверичная система счисления признана современной математикой наиболее совершенной из всех возможных. Ведь 10 делится только на 2 и 5, а 24 имеет шесть делителей, что создает ряд преимуществ при проведении расчетов в этой системе счисления. Однако, при всем многообразии использования разными народами менее рациональных систем счисления, такая система не была применена. Известно лишь деление фута на 12 дюймов и использование дюйм в торговле.

I.I2.14. Возраст Шара может быть определен, как это принято в геологии и археологии, по возрасту пласти глины, в глубине которого он был найден. Глина - это продукт подводной переработки лавы вулканов или вулканической пыли в морской воде, а море севернее Карпат было последний раз в полеогене, т.е. более 25 миллионов лет тому назад. В полеогене же завершилось формирование Карпат и вулканы перестали там действовать. Это дает возраст Шара более 25 млн. лет.

I.I2.15. Однако не исключено, что Шар мог попасть в глубину донных морских отложений недавно, например, упав в колодец или воронку от авиабомбы, которые могли засыпаться потом той же глиной. Поэтому была проведена оценка возраста Шара по времени, необходимому для выщелачивания 1,5 миллиметрового поверхностного слоя стекла. Если принять, что оно все время шло с максимально возможной в природных условиях скоростью, что может быть при действии очень слабых растворов угольной, серной, азотной и соляной кислот, содержащихся в атмосферных осадках, т.е. со скоростью выщелачивания оконных стекол, находящихся в условиях таких природных максимальных естественных воздействий, то по времени появления радужной пленки толщиной около 0,0003 мм время порядка 100 лет можно определить, что выщелачивание 1,5 мм стекла требует более 500 000 лет. Но следует учесть замедляющие факторы. Во-первых, по мере увеличения толщины выщелоченного слоя скорость выщелачивания должно резко падать. Во-вторых, омытие поверхности дождем или морской водой не могло идти долго.

Ведь после пребывания на морском дне в накапливающемся слое глины Шар более 25 млн. лет находился на суше в условиях окружения водонепроницаемой глиной при ничтожной скорости смены окружающей влаги. Это позволяет считать, что повышенению поверхности возраст Шара тоже должен исчисляться десятками миллионов лет.

1.12.15. В отчете о результатах предварительного исследования палеонаходки Шар, как предполагаемого инопланетного объекта представляемого ИКИ в 1980г., были рассмотрены 12 возможных версий-гипотез о его земном и инопланетном происхождении. Для 11 из них найдены доводы, исключающие возможность их реальности и наиболее вероятной была признана гипотеза, что Шар может быть хранилищем запаса энергии в виде антиматерии, привезенным более 25 млн. лет тому назад на Землю межзвездной экспедицией высокоразвитой цивилизации.

1.12.17. Однако, после этого автор по результатам других исследований пришел к выводу, что Земля очень давно стала колонией машинной цивилизации гипотеза о Пришельце опубликована в газете "Ветеран" 1991г. №13 и в журнале "Авиация и космонавтика" 1991г. №8 . Это, а также находки аналогичных Шаров в других местах, привело к тому, что сейчас я считаю Черный Шар одним из устройств информационной Системы вычислительных машин, созданной на Земле Пришельцем представителем или зондом машинной цивилизации на Земле . В ядре Шара, по-видимому, находится сверхминиатюрное действующее кибернетическое устройство из сверхплотного вещества "кваркния". Его масса и вызвала смещение центра тяжести, которое без учета его наличия привело в проведенных расчетах к ошибочному выводу о антигравитации у Ядра. Мощное биополе у Шара, ощущавшееся практически всеми, кто имел дело с ним, и которое использовали парapsихологи -это, по моей гипотезе, пучки глионных цепей, выходящие с полюсов Шара, по которым он более 25 млн. лет получает и передает обрабатываемую Шаром информацию.

1.12.18. Т.к. сообщения очевидцев о наблюдениях НЛО и других аномальных явлений до сих пор не убедили многих и в том числе

ортодоксальных ученых , что мы на Земле не одни, находки и проведение разносторонних научных исследований во многих лабораториях материальных свидетельств пребывания на Земле высокоразвитой цивилизации внеземного происхождения имеет огромное значение для принятия всеми нового мировозрения и прогноза будущего человечества, позволяя положительно ответить на ряд принципиальных вопросов.

- а) Возможно ли существование жизни, разума и цивилизации не только на Земле?
- б) Существует ли на Земле цивилизации более высокого уровня, чем наша?
- в) Возможно ли освоение ими Космоса, преодоление межзвездных расстояний и установление непосредственных связей с нашей цивилизацией?
- г) Возможно ли преодоление кризисов развития техническими цивилизациями подобными нашей?

2. РЕЗУЛЬТАТЫ ИССЛЕДОВАНИЙ

2.1. Форма и структура стеклянного шара /СШ/

2.1.1. Вид стеклянного шара /СШ/ с разных сторон показан на фото I-6. Фотография 5 снята с проходящей подсветкой со стороны стебля-литника, при которой видно, что в месте скола со стороны, противоположной литнику, через который выдувался СШ, свет довольно хорошо проходит через стенку СШ.

2.1.2. Форма СШ, в отличие от "черного шара", не точно аппрокси-^пмируется дугами окружности как в меридиональных, так и в экваториа-льном сечении, что видно из рис. 2-7

2.1.3. На рис. 2-7 приведены результаты попыток определения местоположений центров и радиусов кривизны контуров изображений СШ на фотографиях I-6, снятых с них на кальку (красные линии). Аналогичный прием был использован при исследованиях "черного шара", что дало ключ к пониманию технологии его изготовления и выявило исполь-
зование его конструктором двадцатичетверичной системы счисления с единицей длины 3,65 мм. Среди аппроксимирующих радиусов СШ нет ни одного, кратного этой величине. Это не позволяет считать СШ и "чер-
ный шар", принадлежащими к одному семейству по геометрическим ха-
рактеристикам.

2.1.4. Отличаются они и по технологии изготовления. Отклонения контуров красные линии от круговых черных линий на рис. 2-7 таковы, что не позволяют отнести технологию изготовления СШ к кокильной ("черный шар" был изготовлен литьем под давлением в кокиль), штамповочной или выдуванием в форме, при которых контуры стекла определяются металлической оснасткой с формой тел вращения, всегда изготовленной токарной обработкой. Это приводит к выводу, что СШ изготовлен свободным "ручным" выдуванием через стеклодувную трубку.

2.1.5. Поэтому, СШ представляет собой неправильный сфероид с до-
вольно гладкой наружной поверхностью, сформированной поверхностным
натяжением, вязкостью расплавленного стекла, давлением воздуха вну-
три пузыря и скоростью его подачи при выдувании. В терминах стек-

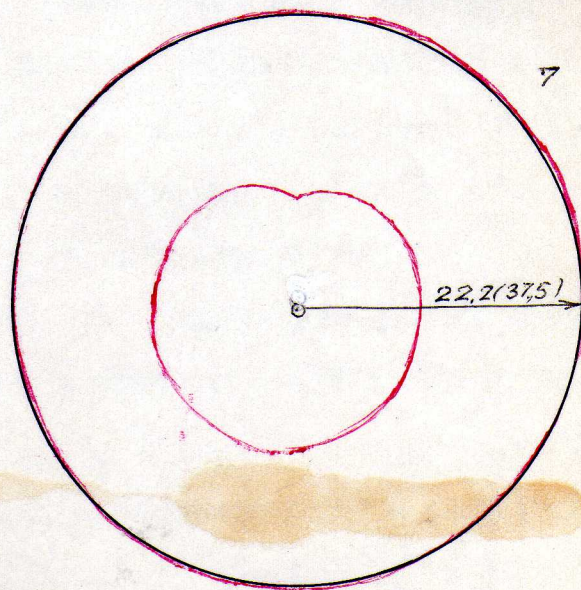
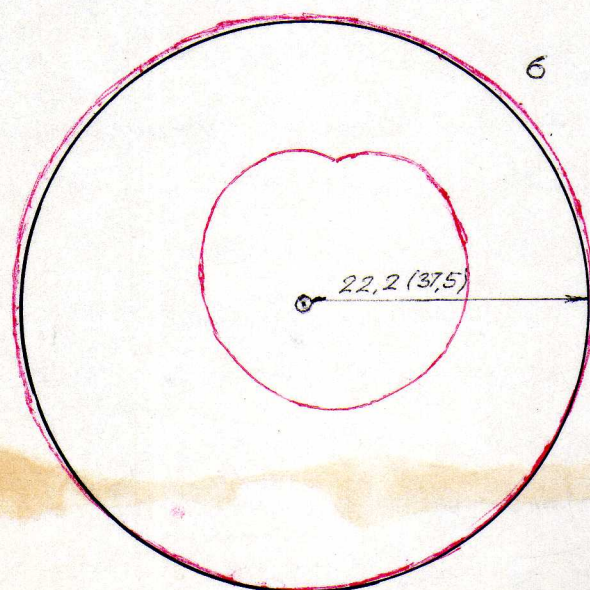
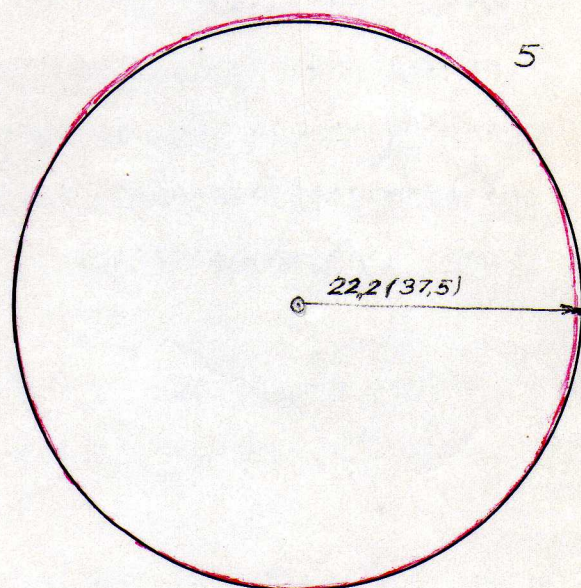
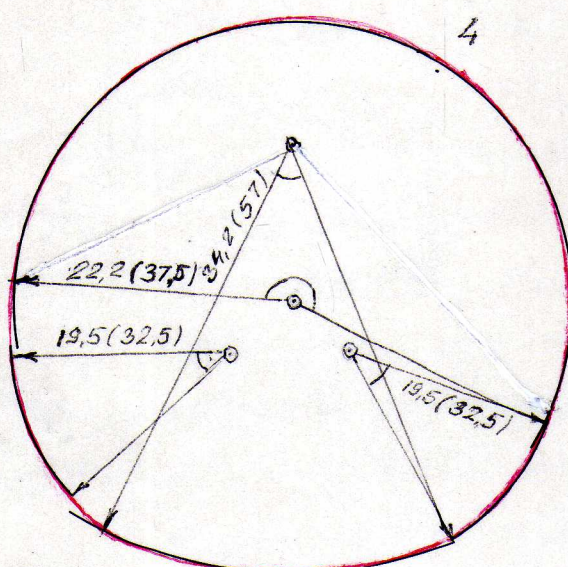
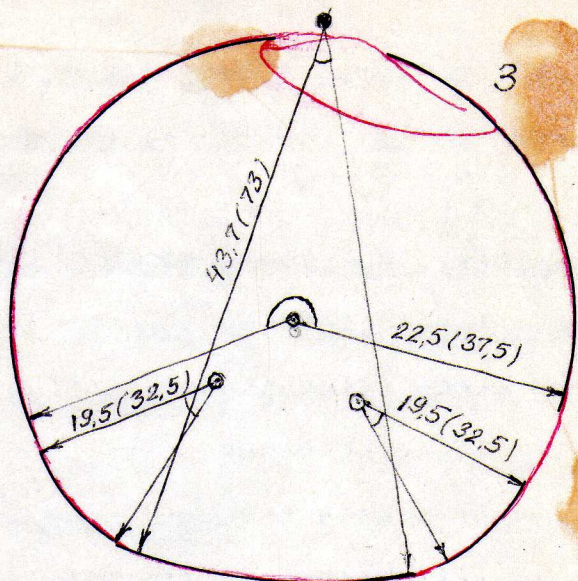
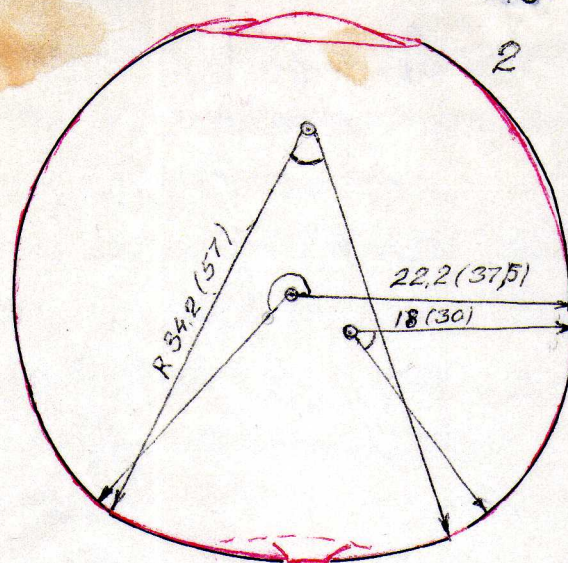


Рис.2-7. Возможность аппроксимации контуров фотографий I-6 СШ дугами окружностей

лянного производства 19-го века [7] такой пузырь называли "баночкой". Это полуупродукт при формировании из баночки мелкой стеклянной посуды, пузырков и т.п.

2.1.6. На изготовление СИ методом ручного выдувания указывает также остаток отрезанного ножницами (щипцами) стебля, привреплявшего "баночку" к стеклодувной трубке и воронкообразное углубление на внутренней поверхности, в месте стебля, который является следом канала, через который производилось выдувание. Об этом же свидетельствует разница в толщине стенки. Она плавно изменяется от 5,5мм у места близкого к стеблю, до 3 мм на противоположной стороне. На это же указывает и втянутость поверхности вокруг стебля, которая образовалась от падения давления воздуха ниже атмосферного после отрезания его от стеклодувной трубки при его охлаждении. Втянулась та его часть, которая медленнее других остывала и теряла пластичность из-за большей толщины.

2.1.7. Шар состоит из желтозеленого стекла, характерного бутылочного" цвета, который указывает на наличие примеси железа в составе песка, из которого изготавливалось стекло.

2.1.8. В толще стекла имеются пузырьки воздуха диаметром до 1,2 мм. У стебля пузырьков почти нет, больше всего их у экватора. Наличие пузырьков свидетельствует о низком уровне технологии варки стекла (низкая температура и малое время нагрева). Отсутствие пузырьков у стебля говорит о подъеме температуры в печи за несколько минут перед набором стекломассы стеклодувом из горшка (нагрев идет с верхней поверхности), от которого прогретый верхний слой освободился от пузырьков, всплывших в более горячей и менее вязкой массе.

2.1.9. О низком уровне технологии свидетельствует и наличие черных включений в стекле, максимальный размер которых 3,2x1,8мм. Это позволяет считать, что нагрев осуществлялся дровами, дававшими при их добавлении вылет кусочков древесного угля, которые попали в горшок с расплавленной стекломассой. Такая технология была в России до 1880г. Начало массового стеклоделия в России относится

к концу 18-го века.

2.1.10. На противоположном стеблю конце СШ имеется скол диаметром около 20 мм с формой, напоминающей кардиоду. Радиальное направление волны раковинистой поверхности скола свидетельствует о тангенциальном распространении отслоения стекла по границе слоя, проходящего примерно в середине толщи стенки СШ, и указывает на то, что скол возник от внутренних "замороженных" напряжений. Они создаются при быстром остывании стекла и для их устранения стеклянные изделия всегда отжигают, нагревая до температуры меньшей температуры размягчения и медленно снижая температуру в течение многих часов или даже суток. Повидимому отжиг СШ был недостатчен, что и вызвало появление этого скола на полюсе.

2.1.11. Наличие внутренних "замороженных" напряжений привело и к самопроизвольному расколу СШ на три части вследствие его неравномерного прогрева (см.п.2.5.8).

2.1.12. Поверхность СШ кроме скола и втянутой части у стебля размахом от 12 до 18мм (см.фото) шероховата. Нет шероховатости и выщелачивания на сколе, что указывает на то, что скол возник недавно, гораздо позже появления шероховатости. Отсутствие шероховатости на втянутой поверхности может быть истолковано как появление ее от катания по довольно жесткой ровной поверхности. Грубый характер шероховатости позволяет предположить, что она появилась от катания СШ по полу, на котором встречались песчинки из кварца. Это приводит к предположению, что СШ использовался длительное время детьми для каких-то игр с катанием СШ по полу.

2.1.13. Поверхность СШ относительно мягкая (за исключением скола). Она легко царапается иглой с образованием мельчайших крошечных и некоторой пластичностью тонкого поверхностного слоя. Это указывает на то, что СШ подвергался до его находки выщелачивающему воздействию и находился во влажной среде или сыром грунте после образования шероховатости.

2.1.14. Попытка определить для отождествления типа стекла микротвердость выщелоченного и не подвергшегося выщелачиванию поверхности стекла (на месте скола) ^{на} приборе ПМТ-3 не удалась, т.к. на стеклянной поверхности не удавалось рассмотреть и измерить размеры отпечатков алмазной пирамидки под нагрузкой от 1 до 20 г. Оказалось, что на прозрачной поверхности стекла при пятисоткратном увеличении отпечатки просто не различаются глазом.

2.1.15. На поверхности СШ в бинокулярную лупу видно множество полуциркульных микротрещин, плоскость которых наклонена примерно на 30 - 40 ° к поверхности СШ. Это и их большое количество подтверждает предположение, что СШ получил шероховатость от ударного воздействия песчинок при катании по полу.

2.2 Определение плотности

2.2.1. При определении плотности СШ, проведенном до его разрушения, была получена плотность 1,22. Эта величина гораздо меньше, чем у обычных стекол, что вызвало подозрение, что СШ (если он монолитен) состоит или из необычного стекла или из стеклоподобной смолы. Длотность янтаря как раз равна 1,20 г/см³.

2.2.2. Для проверки этого предположения была проверена горючность пылинок, снятых с поверхности СШ иглой. Они в пламени остались несгоревшими. Проверена была также возможность электризации СШ трением. Она практически отсутствовала при сравнении с электризацией янтарного кулона.

2.2.3. После саморазрушения СШ было проведено определение плотности отдельных обломков. Она оказалась равной для большего обломка - 2,581 г/см³, для среднего - 2,583 г/см³ и для меньшего - 2,592. Точность использованной методики $\pm 0,005$ г/см³, что соответствует полученной разнице плотностей отдельных обломков и вариации количества и размеров пузырьков воздуха в них.

2.2.4. Эта плотность близка к плотности обычного стекла.

2.3. Определение магнитных свойств

2.3.1. При помещении СШ на блюдце, плавающее на поверхности воды

в пластмассовом тазу, и приближении к нему сильного постоянного магнита на расстояние порядка 1 см обнаружено слабое притяжение СШ к этому магниту.

2.3.2. При длительном свободном плавании СШ ориентации его относительно магнитного поля Земли не обнаружено. Он оставался в произвольно придаляемом ему положении. Это позволяет считать, что примеси железа к стеклу находятся в нем в виде отдельных атомов и не объединены в кластеры, способные приобретать остаточное намагничивание. Поэтому они не приобрели намагниченности феромагнетизма ни от геомагнитного поля при застывании стекла, ни от воздействия сильного постоянного магнита даже при легких ударах СШ по полюсу этого магнита, что свидетельствует о слабом парамагнетизме СШ.

2.4. Определение радиоактивности

2.4.1. Измерение радиоактивного излучения СШ было необходимо для проверки возможности использования энергетических спектров радиоактивных излучений для получения по ним содержания в стекле продуктов деления урана и тория для определения возраста материалов, из которых был изготовлен СШ и времени, прошедшего после изготовления СШ. Оно было проведено при использовании радиометра МКС-ОИР-01 при автоматическом подсчете и регистрации радиометром числа импульсов от β - и γ -излучения СШ за 100 секунд.

2.4.2. При этом СШ располагался вплотную к чувствительному элементу радиометра различными сторонами СШ (сколом, стеблем и боковой поверхностью в плоскости экватора).

2.4.3. Из табл. I видно, что β -излучение СШ в среднем (по 3000 импульсов) оказалось в 1,63 раза больше, чем фоновое (определение по 1000 импульсов), что указывает на наличие повышенного содержания радиоактивных веществ в его материале.

2.4.4. Результаты определения γ -излучения этим же радиометром приведены в табл. 2.

Таблица I. Число актов распада с β -излучением, фиксируемых за 100 секунд

Фоновый счет	Место скола СШ	Место стебля	Боковая поверхность у экватора
42	44	46	94
32	38	54	73
50	47	41	65
15	39	61	58
20	43	47	54
36	62	54	65
33	41	73	40
29	54	59	43
47	61	69	58
33	40	54	76
Среднее	46,3	56,4	62,6
33,7 отношение к фону	1,37	1,67	1,86

Таблица 2. Мощность γ -излучения, фиксируемого МКС-ОИР-01 мкР/с

Фоновый счет	Место скола СШ	Место стебля	Боковая п-ть
22	22	23	22
19	27	22	19
10	24	25	28
8	20	17	23
11	33	25	18
6	18	15	26
11	22	23	24
14	32	26	22
13	22	22	20
4	24	14	18
Среднее 11,8	24,4	21,2	22,0
Стношение к фону	2,07	1,80	1,86

2.4.5. Из табл. 2 следует, что γ -излучение СИ в 1,91 раза больше фонового, что принципиально позволяет использовать его для определения возраста исходных материалов, из которых был изготовлен СИ.

2.4.6. Был также определен уровень α -излучения СИ с использованием того же радиометра. При этом получены результаты, приведенные в таблице 3.

Таблица 3. Количество импульсов α -излучения СИ имп/см²мин

Фоновый счет	Место скола	Место стебля	Боковые поверхности
0,2	2,2	0,7	0,5
0,3	2,0	1,4	0,7
0,5	1,3	0,7	0,6
0,7	1,8	0,6	0,2
0,2	1,3	1,6	0,7
0,3	1,6	0,9	0,9
0,2	1,1	0,7	0,2
0,3	1,8	0,6	0,4
0,2	1,4	0,9	0,5
0,2	0,9	0,7	0,4
Среднее 0,31	1,54	0,88	0,51
Отношение к фону	4,97	2,84	1,65

2.4.7. Из табл. 3 видно, что по α -излучению наблюдается самое большое относительно β и γ -излучения превышение радиоактивности СИ над фоновым уровнем.

2.4.8. Однако определить возраст СИ не удалось, т.к. при обращении в Институт ядерной геологии и геохимии, где в 1982 г. я проводил аналогичные определения, выяснилось, что этот институт изменил свое направление, распавшись на ряд организаций и лабораторий. И лаборатория ядерной геохронологии, хотя и сохранила аппаратуру, но утратила специалистов, работающих на ней.

2.4.9. В этой лаборатории удалось с помощью А.И.Спиридонова определить по γ -излучению СИ, что в нем содержится $2 \cdot 10^{-4}\%$ урана, $2 \cdot 10^{-4}\%$ тория и $1,2 \cdot 10^{-4}\%$ радия. Основная же доля γ -излучения получается от распада 4% калия. Этого содержания урана и тория оказалось

недостаточно для определения по ним возраста СШ, т.к. это потребовало бы непрерывной круглосуточной работы установки в течение 5-6 суток, а это из-за отсутствия в лаборатории соответствующего персонала организовать оказалось невозможно.

2.4.I0. При возрасте стекла более нескольких тысяч лет возможно определение времени его изготовления по трекам от α -частиц, остающихся в толще стекла при α -распаде элементов ряда урана и тория. При травлении шлифов стекла плавиковой кислотой следы пролета α -частиц в толще стекла, попавшие в плоскость шлифа, становятся наблюдаемыми под микроскопом и по их подсчету (при известной α -радиоактивности) и их длине возможно определение возраста СШ. Однако специалисты, владевшие этой методикой, ушли из лаборатории геохронологии, да и возраст СШ не превышающий, судя по технологии его изготовления, несколько сотен лет, и небольшое содержание урана и тория порядка $10^{-4}\%$, не позволяют использовать эту методику.

2.4.II. Не удалась также попытка определения возраста СШ при радиоуглеродном анализе воздуха, который содержится в пузырьках, имеющихся в стекле СШ. Этот вид анализа хорошо применим для возраста порядка нескольких сотен лет. Но трудности с поставкой жидкого азота на наше предприятие, который требовался в качестве бартерной сделки для проведения радиоуглеродного анализа, не позволили провести его.

2.5.Проверка возможности самовращения СШ

2.5.1. При поиске улик, выдающих необычное происхождение и назначение СШ, была проведена проверка принадлежности его к самовращающимся шарам (см.п.1.1. и 1.2.).

2.5.2. В рамках разрабатываемой автором гипотезы о присутствии на Земле зонда высокоразвитой внеземной цивилизации машинной (Пришельца) самовращающиеся шары располагаются в Земле в узлах сетей Хартмана и Кури и являются элементами информационной системы, созданной зондом машинной цивилизации (Пришельцем) на Земле. В этих шарах содержатся ультрамикро-ЦВМ из кваркония, соединенные в об-щую сеть глюонными цепями. По ним идет питание энергией и передача информации

к ним и от них, а также управляющих команд. ГЦ соединяют Шары также с орбитальными энергосиловыми базами, находящимися на околоземных орbitах. Их дрейф на орбитах создает небольшой момент, вращающий Шары информационной системы, если они не закреплены в грунте или каменной породе. Толщина ГЦ меньше 10^{-16} см, прочность на разрыв одной ГЦ около 16 т. Они электро- и цветонейтральны и поэтому ГЦ свободно проходят через любую толщу обычной материи [8], нощаются тренированными на осязание биополя экстрасенсами и операторами биолокации. Подобное изложение и обоснование гипотезы о Пришельце приводится в книге, которую я сейчас написал на 95%.

2.5.3. "Черный шар", который относился к этой категории, имел ощущение для ЭС и ОВЛ "биополе", что было проверено на десятках людей. Однако у СШ его не было обнаружено автором ни с помощью биолокации, ни осязанием. Поскольку ощущение биополя субъективно и осязается лишь при достаточно большой его интенсивности, была проведена попытка определения самовращения СШ.

2.5.4. Для этого использовался мощный осветитель с 20Вт 12В лампой и с оптикой, дающей прожекторный луч. На СШ наклеивалось зеркальце толщиной 1 мм размером 10×10 ^{мм}, от которого отражался луч светителя. Осветитель располагался на штативе на расстоянии 4 метра от СШ, установленного на стеклянной, горизонтально расположенной пластине на другом подоконнике. Отраженный луч падал на стену, находящуюся в 10 м от СШ. На ней луч давал освещенное пятно диаметром 7 см. Края его отмечались карандашом в центре и на краях: справа, слева вверху и внизу. За смещение принималось среднее значение из трех суточных изменений этих отметок. Например, при горизонтальном смещении определялась средняя разница в линиях, отмечавших суточное изменение положения центра, правого и левого края светового пятна.

2.5.5. В первых опытах, проводившихся для определения оси возможного вращения, зеркальце наклеивалось на резиновое кольцо, надеваемое в той или иной плоскости СШ. При этом выявилось, что луч смещается в вертикальной плоскости независимо от того как было натянуто резиновое кольцо на СШ: по меридиану или по экватору. Это дало осно-

вание считать, что смещение луча связано с ползучестью клея и резинового кольца от длительного действия момента, создаваемого весом зеркальца на плече 0,5 мм. После этого зеркальце стало приклеиваться непосредственно к стеклу на верхней точке СИ перпендикулярно поверхности.

2.5.6. Однако и при этом смещение луча происходило от зеркальца, закрепленного на полюсе в месте скола, в вертикальной плоскости до 20 мм/сутки. В пересчете оно давало среднюю угловую скорость вращения равную 0,147 об/год. При изменении точки наклейки зеркальца на 90° (на экватор) и установки СИ внутри отверстия металлической шайбы (иначе СИ скатывался в более устойчивое положение со стеблем внизу или вверху) выяснилось, что движение СИ стало медленнее, что поворот идет с переменной в течение суток скоростью и, кроме того, с изменением ^а направления перемещения. В течение четырех суток луч перемещался на 14 - 18 мм сначала вниз, потом влево, затем вверх и после этого остановился. Это можно истолковать как отражение контактных деформаций смятия в месте пятна опоры и контакта с ребром шайбы.

2.5.7. Для проверки версии о движении СИ от микродеформаций в месте контакта ~~зажима~~ на той же опоре было проведено по аналогичной методике наблюдение за движением ^{луча}, отраженного от зеркальца, приклеенного на верхней части ~~стального~~ стального шара диаметром 62 мм от большого шарикоподшипника. При этом оказалось, что и в этом случае наблюдается движение светового зайчика, причем также без сохранения направления и величины перемещения, которое происходило даже на большее расстояние, чем перемещение зайчика от СИ. Это позволило прийти к заключению, что эти перемещения происходят за счет неравномерности ^Д ползучести ~~слоя~~ слоя краски на подоконнике на площади контакта довольно тяжелой опоры с подоконником. Это привело к выводу, что смещения луча, отраженного от зеркальца, закрепленного на СИ, тоже происходило за счет деформации краски и клея, и что СИ не обладает свойством самовращения.

2.5.8. К сожалению все эти эксперименты не удалось завершить,

т.к. СИ разрушился, очевидно от тепловых напряжений, когда в течение двух часов подвергался одностороннему нагреву лучом осветителя.

(Забыл выключить его после очередного выключения для замера смещения). Эти напряжения добавились к замороженным напряжениям, оставшимся от изготовления (см. п.2.1.10), и их сумма оказалась достаточной для растрескивания его на три части.

2.5.9. Это разрушение СИ позволило понять, что причиной малой величины средней плотности СИ ($1,2 \text{ г}/\text{см}^3$) было наличие внутри СИ большой полости. Это устранило единственный параметр СИ, делающий его загадочным. И измерение плотности трех обломков показало, что она имеет величину, типичную для стекла (см. п.2.2.3).

2.5.10. Таким образом улик, заставляющих предполагать аномальные технологии, свойства и самодвижение у СИ не оказалось.

2.5.11. Однаковая у всех трех обломков плотность (в пределах точности измерения – см. п.2.2.3) свидетельствует об отсутствии в одном из них кваркниевой ЦРМ и позволяет считать, что СИ не относится к аномальным странным шарам, входящим в информационную сеть Пришельца.

3. Заключение

3.1. Обзор литературных сообщений о странных шарах и камнях свидетельствует о большом разнообразии их размеров, материала, свидетельств техногенности, возраста, поведения и таинственности, что оправдывает проведение исследования стеклянного шара, на возможность принадлежности его к пестрой категории аномальных шаров и камней. Ими может быть что угодно, если его происхождение и предназначение непонятно.

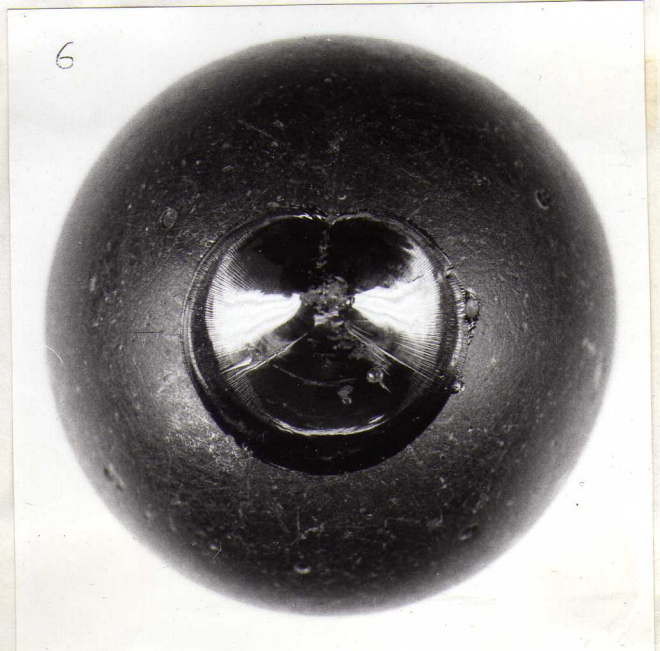
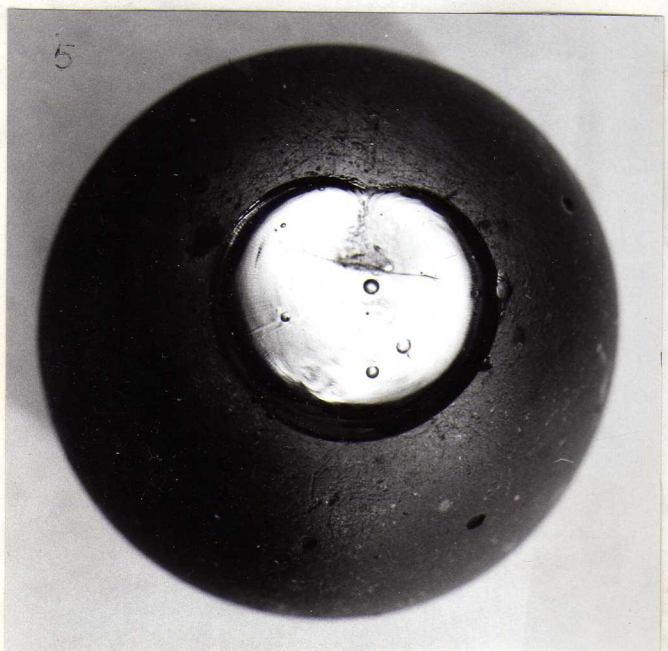
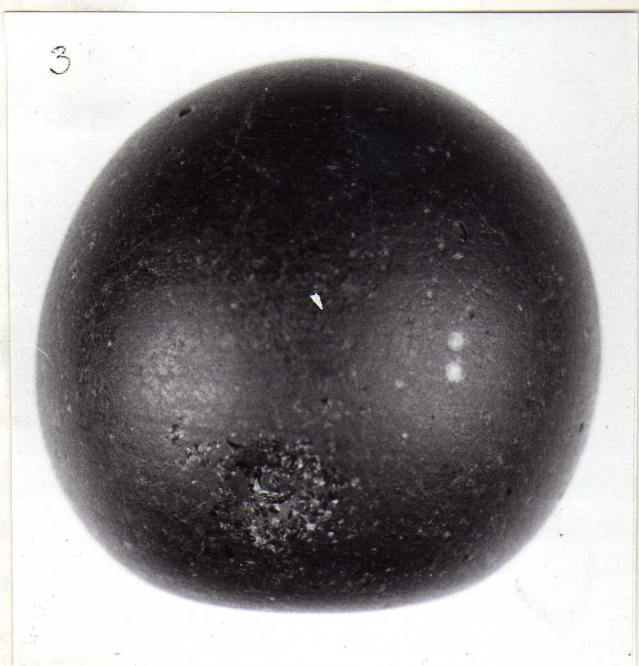
3.2. Исследование формы, структуры и состояния поверхности стеклянного шара, а также включений и плотности стекла (после его саморастрескивания) привели к заключению, что СШ - это изготовленный "ручным" способом полупродукт стекольного производства (так называемая "баночка") для изготовления небольших стеклянных изделий. Он был получен при использовании несовершенной технологии и оборудования, характерных для времени от середины 18-го до середины 19-го века.

3.3. После его изготовления шар приобрел шероховатость поверхности от длительного перекатывания по твердой гладкой поверхности с загрязнениями из песчинок. Скорее всего он использовался детьми для каких-то игр.

3.4. Свойством самовращения и какими-либо другими аномальными свойствами стеклянный шар не обладает, что позволяет считать его не относящимся к категории "странных шаров" с аномальными свойствами и необычным происхождением.

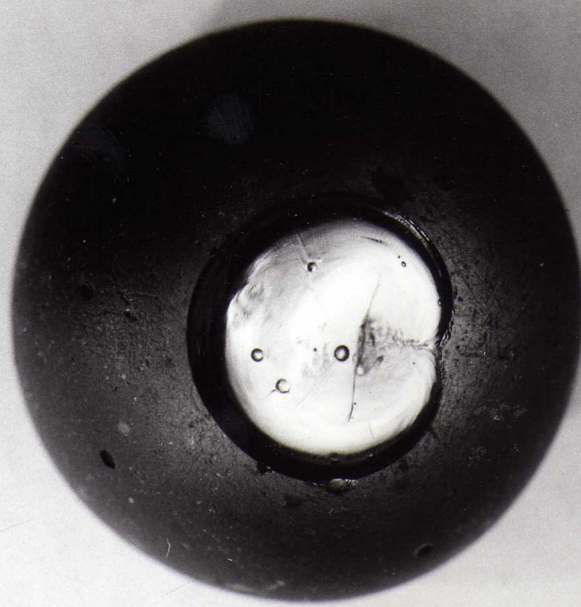
Список использованных источников

1. И.Г. Петровская, Д.А. Меньков, В.Н.Фоменко. Информация о результатах предварительных исследований палеонаходки "Шар", как предполагаемого инопланетного объекта. Отчет, выполненный для ИКИ, Самиздат, М. 1980, 50 с.
- 2.М.Карпенко. Вселенная разумная. М. 1992. Мир географии, Кн.2 с58,400стр.
3. Д.Пичугин. Загадка "Шаров чудес". Эхо планеты. №II.июнь 1988, с 44.
4. Дж.Мичелл, Р. Риккард. Феномены книги чудес. М.ИЛ.1990.с23, 288 стр.
5. Сб. Книга тайн -З.М.Мистерия, 1933, с34I, 350 стр.
6. В. Комиссаров. Камни, парящие над землей. Альманах,Феномен. 1989.с.8I, 96 стр.
7. Энциклопедический словарь. Брокгауз и Ефрон. т.62.СПБ,1901, с 565.



Фотографии I - 6 СIII с различных сторон

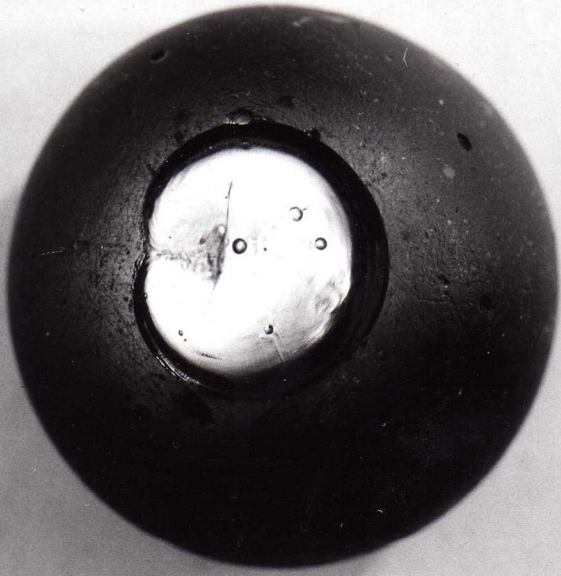






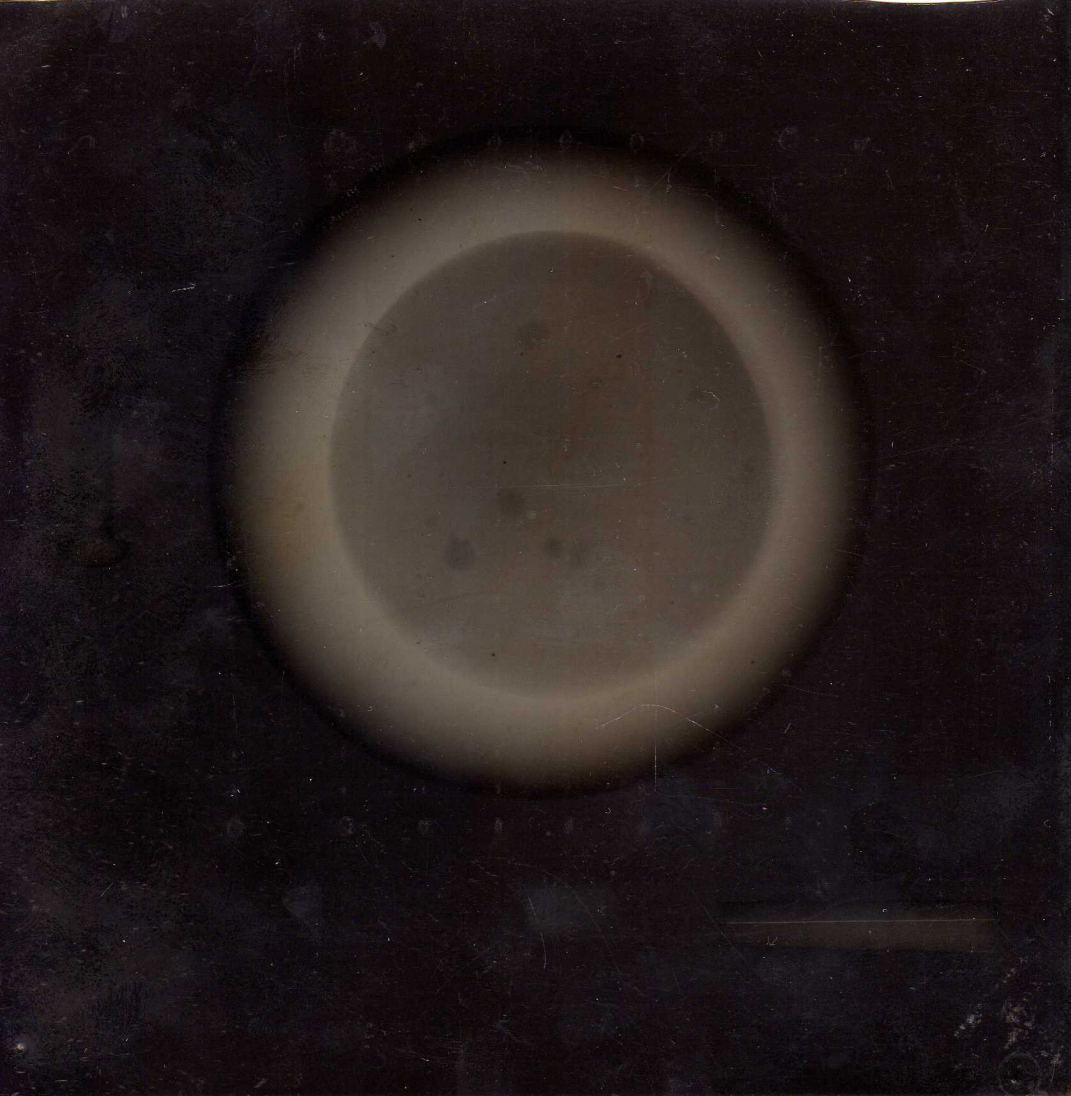




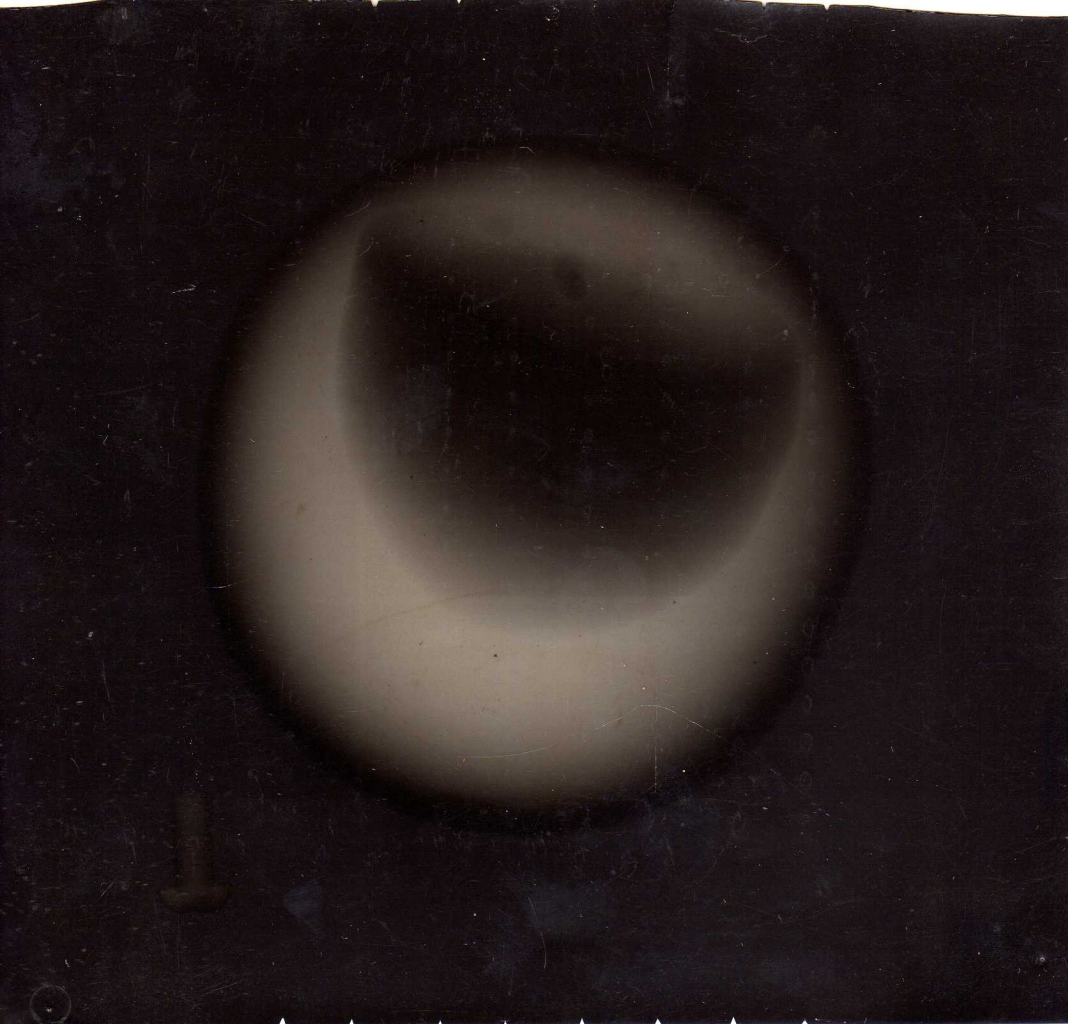


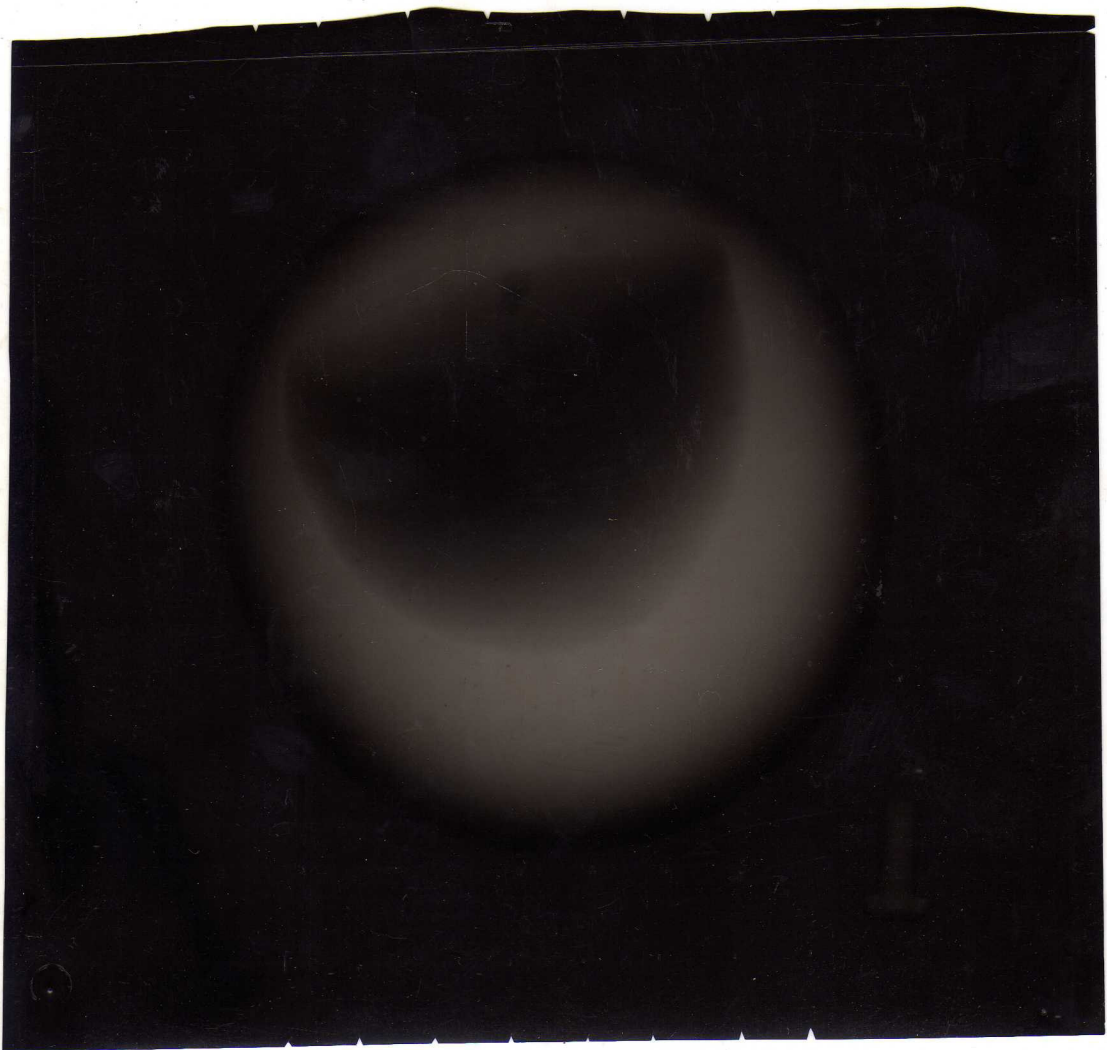












АЭРОКОСМИЧЕСКАЯ КОМПАНИЯ "ВЕРТИКАЛЬ"
НАУЧНО-ИССЛЕДОВАТЕЛЬСКИЙ ИНСТИТУТ ПО ИЗУЧЕНИЮ АНОМАЛЬНЫХ ЯВЛЕНИЙ
АКТ приемки-сдачи №. _____, от 7 марта 1996 г.

Мы, нижеподписавшиеся, Научно-исследовательский институт по изучению аномальных явлений (НИИАЯ) в лице директора Рубцова Владимира Васильевича (Заказчик), с одной стороны, и гражданин Фоменко Валентин Николаевич (Исполнитель), с другой стороны, составили настоящий акт в том, что в соответствии с договором подряда №. 5/94 от 17 июня 1994 г. между НИИАЯ и гр. Фоменко В.Н., за время с 1 июля 1994 г. по 31 октября 1994 г. гр. Фоменко В.Н. выполнил физико-химические исследования объекта "шар". Объект "шар" в период проведения исследований самопроизвольно разрушился; его части возвращены в НИИАЯ.

Исполнитель сдал, а Заказчик принял технический отчет по договору подряда №. 5/94 объемом 30 машинописных страниц.

Всего по настоящему акту выполнено работ на 100 % от общего объема договорной суммы. По настоящему акту подлежат оплате работы на сумму 250 тысяч рублей, за вычетом договорного аванса 50 тыс. руб., выплачивается сумма 200000 (двести тысяч) российских рублей.

Настоящий акт является основанием для оплаты Заказчиком вышеуказанных работ.

От Заказчика акт подписал:

В.В.Рубцов

М.П.

От Исполнителя акт подписал:

В.Н.Фоменко

РАСПИСКА

В соответствии с договором подряда № 5/94 от "17" июня 1994 г. между Научно-исследовательским институтом по изучению аномальных явлений /НИИАЯ/ и гр. Фоменко В.Н., мною, гражданином Фоменко Валентином Николаевичем, получен от директора НИИАЯ Рубцова В.В. объект "шар" для проведения его исследований в период с "1" июня 1994 г. по "31" октября 1994 г.

Дата: "17" июня 1994 г. Подпись: В.Н.Фоменко
/Фоменко В.Н./

2 часть из 3-х листов бумаги 19.1.95
3-е действие зал прт.: 1) сажевка; 2) багажник

АЭРОКОСМИЧЕСКАЯ КОМПАНИЯ "ВЕРТИКАЛЬ"
НАУЧНО-ИССЛЕДОВАТЕЛЬСКИЙ ИНСТИТУТ ПО ИЗУЧЕНИЮ АНОМАЛЬНЫХ ЯВЛЕНИЙ
ПЛАТЕЖНАЯ ВЕДОМОСТЬ

на итоговую оплату работ, выполненных по договору подряда

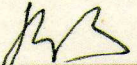
No. 5/94 от 17 июня 1994 г.

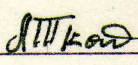
№.п/п	Фамилия, имя, отчество	Сумма	Подпись
1.	Фоменко Валентин Николаевич	200000	

И т о г о 200000

К выплате по ведомости 200000 руб..

двести тысяч российских рублей

Директор  B.B. Рубцов

Гл. бухгалтер  л.и. Ткач

Уважаемый Владимир Васильевич!

Прощу извинить за задержку. Увлекся работой над книгой, которую почти завершил. Да и те, с кем я имел договоренность об определении возраста по радиоуглеродному анализу продержали почту полгода.

К сожалению Шар оказался тривиальным.

Надеюсь, что это и мой задержка с отчётом не очень сильно повредят Вам и Вашему НИИ.

Надеюсь также что это не будет препятствием для нашего дальнейшего сотрудничества.

С уважением В.Денин

Владимир Васильевич.

Почему-то бандероль вернулась обратно. Позвольте ее повторно, но уже на Ваш домашний адрес.

Возможно вернули из-за непрекного конверта с Варварского отделения

С уважением.

С извинениями и уважением

В.Денин

28.3.96

